

流速이 急變하는 潮流海域을 橫斷하는 船體의 舉動에 관한 研究

尹 秀 源

A Study on the Behavior of Ships Advancing across
the Waters with Sharply Varying Speed
Distribution of Tidal Current

Soo-weon Yoon

- Abstract
- Nomenclature
1. 序論
2. 船體運動方程式 및 潮流海域의 數學 모델化
- 2-1. 座標系
 - 2-2. 船體運動方程式
 - 2-3. 潮流海域의 數學 모델化
 - 2-4. 潮流海域에서의 流體力計算方法
 - 2-5. 船體運動의 計算方法
3. 數值計算
- 3-1. 計算에 利用한 船舶諸 主要目 및 流體力資料
 - 3-2. 計算結果의 檢討
4. 結論
- 參考文獻
- 附錄

Abstract

Generally, the tidal current the velocity of which varies sharply can be formed on water areas near islands or waterbreaks etc.

A ship advancing across such tidal current has great yawing moment with heavy roll angle. In that case, capsizing accidents are most likely to occur. But its mechanism has not been clear yet.

In this paper, the author takes the case that a ship advances across the tidal current with varying speed, and the equations of motion are described on surge, sway, yaw and roll motions, and are solved by Runge-Kutta-Gill Method, using hydrodynamic forces obtained by model tests of a container ship in calm water.

As a result of calculations, the author suggests the followings.

- 1) The longer time advancing across such tidal current results in the smaller ship motions.
- 2) The smaller angle of ship's heading to tidal current results in the smaller ship motions.
- 3) Ship's \bar{GM} affects ship motions severely.

— Nomenclature —

a_H	; Ratio of the lateral force of hull induced by rudder to rudder normal force.
B_F	; Breadth of tidal current area with varing speed.
C1, C2, C3:	Control coefficients of the auto-pilot.
C_{RX}	; Ratio of the longitudinal force induced on the hull by the rudder to rudder drag force.
F_n	; Froude number.
F_N	; Rudder normal force.
\bar{GM}	; Metacentric height.
G-xyz	; Moving coordinates system fixed to ship.
I_x, I_z	; Moment of inertia of ship about X, Y axis.
J	; Advance ratio of propeller.
J_x, J_z	; Added moment of inertia of ship about X, Z axis.
I_x, I_y	; z coordinate of the center of m_x, m_y respectively.
m	; Ship's mass.
n	; Propeller revolutions per second.
N	; Hydrodynamic yaw moment.
p	; Roll angular velocity (ϕ).
$\bar{O}-x_o y_o z_o$; Coordinates system fixed to the earth.
r	; Yaw angular velocity (Ψ).
t	; Time in general, or effective thrust deduction factor.
T	; Thrust of propeller.
u	; Surge velocity of speed over the water.
u^*	; Surge velocity of speed over the ground.
u_p	; Efficient relative inflow velocity in x direction to propeller.
u_R	; Efficient relative inflow velocity in x direction to rudder.
v	; Sway velocity of speed over the water.

v^*	; Sway velocity of speed over the ground.
V_F	; Tidal current.
V_{F1}	; Initial tidal current velocity.
V_{F2}	; Last tidal current velocity.
V, V^*	; Ship resultant speed ($\sqrt{u^2+v^2}$, $\sqrt{u^{*2}+v^{*2}}$)
V_0	; Ship's initial speed.
x_H	; x coordinate of the center of the lateral force induced on hull by the rudder interaction.
x_G	; Distance between C. G. of ship and the midship.
x_R	; x coordinate of the center of rudder normal force.
X	; Hydrodynamic surge force.
Y	; Hydrodynamic sway force.
w_P	; Effective wake fraction on straight running.
z_H	; Height between C. G. of ship and the center of the hydrodynamic sway force.
z_R	; z coordinate of the center of the forces acting on the rudder and hull due to rudder deflection.
a_R	; Effective rudder inflow velocity.
a_Y	; x coordinate of center of m_y .
β	; Drift angle (sway angle).
ϵ, γ, η	; Experimental coefficients needed for finding out rudder normal force.
Ψ	; Heading angle (yaw angle).
Ψ_F	; Tidal current angle.
ϕ	; Heel angle (roll angle).
ρ	; Density of water.
δ	; Rudder angle.
δ^*	; Ordered rudder angle.
$\dot{\delta}_{\max}$; Maximum time rate of steering gear.

1. 序論

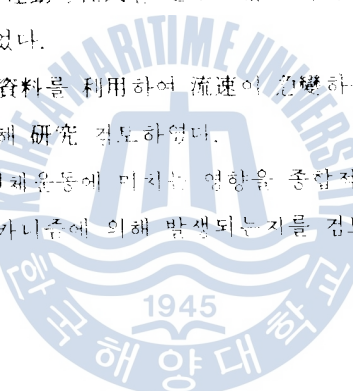
一般的으로 地形地物이 복잡한 狹水道나 海岸 부근에서는 潮流가 複雜하다. 即 섬이나 방파제等의 부근에서 발생하는 反流, 過流等에 의해서 流速이 急變하는 潮流海域이 形成된다. 이 와간은 潮流海域을 橫斷하는 船體는 큰 回頭모우메트와 橫傾斜를 유발하게 되며, 심지어는 轉覆한 事例가 日本의 來島(Kurushima) 海峽等에서 발생하였다.

이에 對한 安全指針 대지는 原因並명이 출판(1972)을 通해 發표되었다. 문헌 1)에 서는 實船實驗에 의한 實際적인 操船指針을 마련하였고, 문헌 2)에서는 선체 전복의 원인을 규명하기 위해 Surge, Sway, Yaw 운동에 대한 Simulation 계산 수법을 이용하였다.

그러나 本論文에서 다루고자 하는 바와 같이 큰 橫傾斜을 동반하는 操縱運動의 경우는 Surge, Sway, Yaw, Roll의 3次元運動으로 취급해야 마땅한 것이다. 최근 문헌 3)(4), 5) 등에서 Roll을 포함한 操縱運動에 관한 運動方程式을 定立하였으며, 橫傾斜時의 流體力を 拘束模型實驗을 通해 求한 資料가 發表되었다.

本論文에서는 문헌 3)의 流體力資料를 利用하여 流速이 急變하는 潮流海域을 橫斷하는 船體의 動을 Simulation 計算에 의해 研究 검토하였다.

즉, 이러한 海域의 환경조건이 선체운동에 미치는 영향을 종합적으로 계산하였으며, 船體轉覆이 어떠한 조건下에서 어떠한 예카니즘에 의해 발생되는지를 검토하였다.



2. 船體의 運動方程式 및 潮流海域의 數學모델化

2 - 1. 座 標 系

그림 2-1과 같이 船體의 무게重心G를 座標原點으로 하고, 船首方向을 x 軸, 正橫方向을 y 軸, 鉛直下方을 z 軸으로 하는 直角座標系, 即 船體固定座標系를 $G-xyz$ 라 하고, 重心G를 通하는 水平面內의 空間固定座標系를 $\bar{O}-x_0y_0$ 라 한다.

船體의 運動은 剛體의 空間運動으로 취급할 수 있으므로, 船體의 質量이 重心G에 質點으로서 作用하고 있다고 간주할 수 있다.

船體의 重心G의 對水速度를 V , x , y 軸成分을 각각 u , v , 回頭角을 Ψ , 回頭角速度를 r , 橫傾斜角을 ϕ , 橫搖角速度를 ρ , 船體에 作用하는 流體力 및 모우멘트를 각각 X_o , Y_o , N_o , K_o 로 나타낸다. 따라서 N_o , K_o 은 重心G周圍의 모우멘트이다. 그리고 舵角을 δ , drift angle을 β , 舵直壓力을 F_N 으로 나타낸다. (그림 2-1 참조)

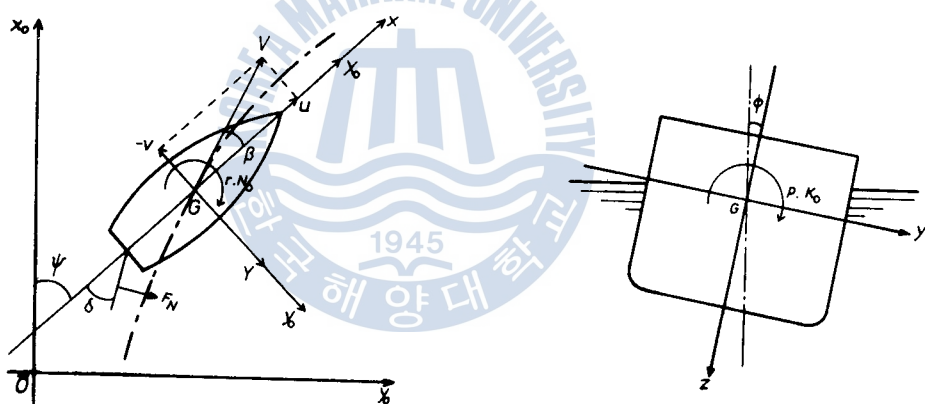


그림 2 - 1 좌표계

2 - 2. 船體運動方程式

그림 2-1의 船體固定座標 $G-xyz$ 를 使用하여 Surge, Sway, Yaw, Roll의 運動을 記述하는 運動方定式을 문헌[3][6]에 의해 다음과 같이 유도한다.

우선 剛體의 空間運動에 관한 Newton의 運動法則에 의해 다음과 같이 쓸 수 있다.

$$m(\dot{u} - vr) = X_o$$

$$m(\dot{v} + ur) = Y_o$$

$$I_z \dot{\tau} = N_o$$

$$I_x \dot{p} = K_o$$

(2 - 1)

(2-1) 式을 流體中에 在 船體의 運動에 따른 離加對稱理論² 並 船本體의 2-1 次元 力作用에 關한 例題에 依한 事由로 由式
 $\bar{W}\bar{GZ}(\phi)$ 는 式 2-1 식을 다음과 같이 整合할 수 있다.

$$\begin{aligned} & (m + m_x)\dot{u} - (m + m_y)v r + X_o \\ & (m + m_y)\dot{v} + (m + m_z)ur + m_ya_y\dot{r} - m_yl_y\dot{p} = Y_o \quad (2-2) \\ & (I_z + J_z)\dot{r} + m_ya_y\dot{v} = N_o \\ & (I_x + J_x)\dot{p} - m_yl_y\dot{v} - m_xl_xur + W\bar{GZ}(\phi) = K_o \end{aligned}$$

위와 流體力는一般的的 船體의 中心(\mathbf{x})周圍에 對하여 記述하는 次의 式에로 表여 된다. 即나 船體에 作用하는 流體力는 理論的 方程計算 時에 座標原點을 船體中心에 取는 경우에 計算이 용이하기 때문이다. 따라서 座標原點은 船舶首尾線의 水線面上에서 船首尾線의 中心(\mathbf{x})에 取한 船體固定座標系인 $O-xyz$ 를 하고, O 周圍의 流體力を X, Y, N, K 로 하면 다음과 의 관계가 있다.

$$\begin{aligned} X_o &= I \\ Y_o &= Y \\ N_o &= N - Yx_o \\ K_o &= K + Yz_o \quad (2-3) \end{aligned}$$

但, x_o, z_o 는 O 에서 본 G 의 x, z 座標이다.

따라서

$$\begin{aligned} & (m + m_x)\dot{u} - (m + m_y)v r = X \\ & (m + m_y)\dot{v} + (m + m_z)ur + m_ya_y\dot{r} - m_yl_y\dot{p} = Y \quad (2-4) \\ & (I_z + J_z)\dot{r} + m_ya_y\dot{v} = N - Yx_o \\ & (I_x + J_x)\dot{p} - m_yl_y\dot{v} - m_xl_xur + \bar{W}\bar{GZ}(\phi) = K + Yz_o \end{aligned}$$

2-4 식은 平水中에서의 運動方程式이지만, 即…한 流速分布를 갖는 潮流海域에서는 u, v, r, p, \dots 등의 變數(parameter)를 對水速度라 생각하면 潮流海域에서도 그대로 적용된다.

對水速度($\nabla; u, v$)와 對地速度($\nabla^*; u^*, v^*$)의 관계는

$$\nabla = \nabla^* + \nabla_F \quad (2-5)$$

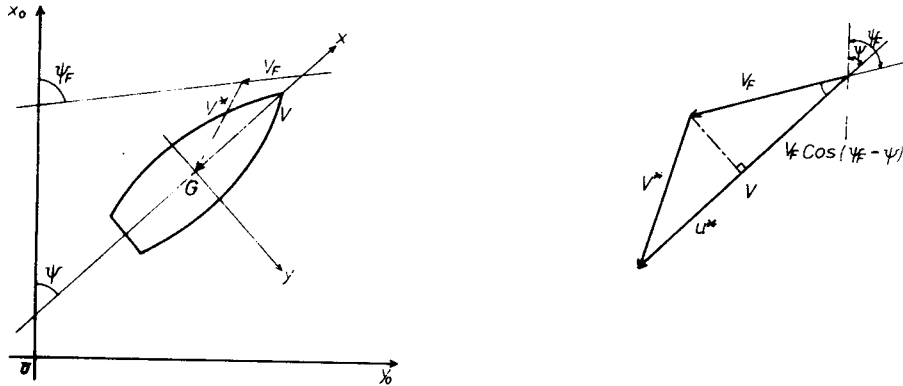
但, ∇_F : 潮流의 速度

이므로 各 成分別로 表示하면 다음과 같다.

$$\begin{aligned} u &= u^* + V_F \cos(\Psi_F - \Psi) \\ v &= v^* + V_F \sin(\Psi_F - \Psi) \\ \dot{u} &= \dot{u}^* + V_F r \sin(\Psi_F - \Psi) \\ \dot{v} &= \dot{v}^* - V_F r \cos(\Psi_F - \Psi) \quad (2-6) \end{aligned}$$

但, Ψ_F 는 流向을 나타낸다. (그림 2-2 참조)

2-6 식을 2-4 식에 대입하여 對地速度(u^*, v^*)에 대한 運動方程式으로 고쳐쓰면

그림 2-2 대지속도 (V^*) 와 대수속도 (V)의 관계

$$\begin{aligned} (m + m_x) \dot{u}^* &= X_A \\ (m + m_y) \dot{v}^* + m_y a_y \dot{r} - m_y l_y \dot{p} &= Y_A \\ (I_z + J_z) \dot{r} + m_y a_y \dot{v}^* &= N_A \\ (I_x + J_x) \dot{p} - m_y l_y \dot{v}^* &= K_A \end{aligned} \quad (2-7)$$

여기서

$$\begin{aligned} X_A &= X + \{(m + m_y) v - (m + m_x) V_F \sin(\Psi_F - \Psi)\} r \\ Y_A &= Y - \{(m + m_x) u - (m + m_y) V_F \cos(\Psi_F - \Psi)\} r \\ N_A &= N - Y x_c + m_y a_y V_F r \cos(\Psi_F - \Psi) \\ K_A &= K + Y z_c + \{m_x l_x u - m_y l_y V_F \cos(\Psi_F - \Psi)\} r - \bar{W} GZ(\phi) \end{aligned}$$

한편 X, Y, N, K 即 船體에 作用하는 流體力은 粘性流體力과 艤力이며, 이것을 主船體 (Hull)에 作用하는 流體力, 艤 (Rudder)에 作用하는 流體力 그리고 프로펠라에 기인하는 流體力으로 분리하여 다음과 같이 쓸 수 있다.

$$\begin{aligned} X &= X_H + X_R + X_P \\ Y &= Y_H + Y_R \\ N &= N_H + N_R \\ K &= K_H + K_R \end{aligned} \quad (2-8)$$

여기서 첨자 H, R, P 는 各各 Hull, Rudder, Propeller의 略字이다.

各 流體力成分은 구체적으로 다음과 같이 표시된다.

$$\begin{aligned} X_H &= X(u) + X_{vr} \dot{v} r + X_{vv} v^2 + X_{rr} r^2 + X_{\theta\theta} \dot{\theta}^2 \\ X_R &= -C_{rx} F_N \cos \delta \\ X_P &= (1-t) T(J) \end{aligned} \quad (2-9)$$

但, $X(u)$ 는 선체 저항, $J = u_p/(nD)$, $T(J)$ 는 프로펠라 추력이다.

$$Y_H = Y_v + Y_r r + Y_\phi P + Y_{\phi\phi} + Y_{vvv} v^3 + Y_{rrr} r^3 + Y_{vvr} v^2 r + Y_{vrr} v r^2 + Y_{vv\phi} v^2 \phi + Y_{v\phi\phi} v \phi^2 + Y_{rr\phi} r^2 \phi + Y_{r\phi\phi} r \phi^2 \quad (2-10)$$

$$Y_R = -(1 + a_H) F_N \cos \delta$$

$$N_H = N_v v + N_r r + N_\phi P + N_{\phi\phi} + N_{vvv} v^3 + N_{rrr} r^3 + N_{vvr} v^2 r + N_{vrr} v r^2 + N_{vv\phi} v^2 \phi + N_{v\phi\phi} v \phi^2 + N_{rr\phi} r^2 \phi + N_{r\phi\phi} r \phi^2 \quad (2-11)$$

$$N_R = -(x_R + a_H x_H) F_N \cos \delta$$

$$K_H = -Y_H \cdot Z_H$$

$$K_R = (1 + a_H) Z_R F_N \cos \delta = -Y_R \cdot Z_R \quad (2-12)$$

但, Z_H , Z_R 은 각각 Y_H , Y_R 의着力點의 Z 座標,
그리고 F_N 은 艪直壓力(Rudder normal force)으로서 MMG(日本造船學會 操縱運動數學 모
型検討委員会)의 주차식⁶을 利用하면

$$F_N = \frac{1}{2} \rho A_R V_R^2 \sin \alpha_R f_a(\Delta) \quad (2-13)$$

이로, V_R 은 艪有効流入速度로서

$$V_R = \sqrt{u_R^2 + v_R^2}$$

$$u_R = \frac{\epsilon u_p}{1 - S} \sqrt{1 + 2/(1 - \eta K) S + (1 - \eta K)^2/(2 - K)} \dot{S}^2$$

$$u_p = u(1 - W_p)$$

$$S = 1 - u_p/(P_n)$$

$$\eta = D/H$$

$$k = k/\epsilon$$

$$v_R = \gamma(v + Cr \cdot L \cdot r)$$

$$\alpha_R = \delta + \tan^{-1}(v_R/u_R) \quad (2-14)$$

α_R 은 艪有効流入角으로서

$$\alpha_R = \delta + \tan^{-1}(v_R/u_R) \quad (2-15)$$

$f_a(\Delta)$ 은 揚力係數로서 Fujii의 實驗值⁸

$$f_a(\Delta) = \frac{6.13\lambda}{\lambda + 2.25}$$

라 가장한다.

2-3. 潮流海域의 數學模擬化

流速이 急變하는 潮流海域을 그림 2-3과 같이 數學模擬化하고, 다음과 같이 가정한다.

- (1) 流速의 狀態는 船體의 存在로 인하여 变化되지 않는다.
- (2) 潮流의 方向은 모든 海域에서 平行하다.
- (3) 潮流의 流速分布는 如下한 第1流速海域帶, 第2流速海域帶, 第1流速海域과 第2流速海域의 境界海域으로 구분되고, 第2流速은 第1流速보다 빠르다.

(4) 上記 境界海域의 幅은 一定하고, 境界海域內의 流速分布는 幅方向으로 直線的으로 變化 한다.

船體의 平面運動은 그림 2-3에 나타낸 座標系에 대하여 計算한다. 境界의 幅 B_F 의 中心線上에 空間固定座標系의 原點 \bar{O} 를 두고, 境界는 x_0 軸에 대하여 Ψ_F 의 方向을 가지고, 흐름은 前記의 가정을 만족한다. 船體는 均一한 흐름中에서 境界를 橫斷하여 進行하며, V_F 의 均一한 흐름中으로 進行하는 것으로 한다(그림 2-3 참조).

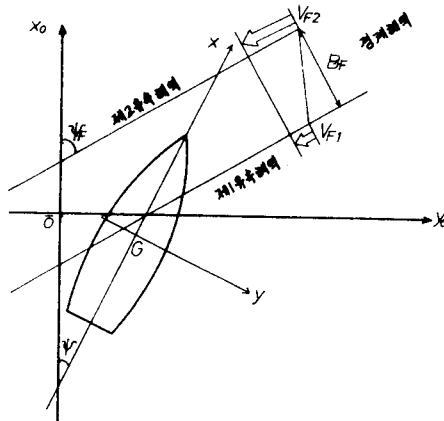


그림 2-3 조류해역과 좌표계

2-4. 潮流海域에서의 流體力 計算方法

流速이 急變하는 潮流海域에서의 流體力 計算方法으로 우선 船體에 作用하는 流體壓의 船體길이方向 分布를 다음과 같이 가정한다.

$$\begin{aligned} Y_H &= q(v, r, p, \phi) \int_{-L/2}^{L/2} f(\xi) d\xi \\ N_H &= q(v, r, p, \phi) \int_{-L/2}^{L/2} \xi f(\xi) d\xi \end{aligned} \quad (2-16)$$

여기서 v, r, p, ϕ 는 船體의 重心 G 의 對水速度成分이고, Y_H, N_H 는 船體의 中心 O 周圍의 流體力이다.

$q(v, r, p, \phi) = Y_H$ 라 가정하면

$$\int_{-L/2}^{L/2} f(\xi) d\xi = 1 \quad (2-17)$$

但, $f(\xi)$ 는 分布函數

ξ_o 를 終보기 橫着力點이라 하면

$$\xi_o = \frac{N_H}{Y_H}$$

그러므로

$$\xi_o = \int_{-L/2}^{L/2} \xi f(\xi) d\xi \quad (2-18)$$

$f(\xi)$ 를 ξ 의 1차식, $f(\xi) = a\xi + b$ 라 가정하면 2-17, 2-18식으로 부터

$$a = 12\xi_o/L^3, \quad b = 1/L$$

以上의 관계는 船體中心의 對水速度가 V 인 均一한 潮流海域에서 만족되지만, 船體의 一部(Strip) $d\xi$ 가 이와 같은 狀態에 있는 경우에도 그部分에 관해서는 全船體가 同一條件에 있다고 간주하고 위의 관계를 적용시켜 q 와 $f(\xi)$ 를 구하여 Strip에 作用하는 流體力を 求한다. Strip에 作用하는 流體力を $Y_H(\xi) d\xi, N_H(\xi) d\xi$ 라 하면 全流體力を 다음과 같다.

$$\begin{aligned} Y_H &= \int_{-L/2}^{L/2} Y_H(\xi) d\xi \\ N_H &= \int_{-L/2}^{L/2} N_H(\xi) d\xi \end{aligned} \quad (2-19)$$

그림 2-4에, 그림 2-4(a) 중에 船體中心線과 흐름의 境界線과의 交點 P 의 ξ 座標는 ξ_P 라 한다.
 P 의 前方 流速 V_F 의 面에 있는 部分에 F , 後方 流速 V_R 의 面에 있는 部分에 A 를 같은
 차를 付여서 나타내면 各部分의 流體力은

$$\begin{aligned} Y_{HF} &= q_F \int_{\xi_P}^{L/2} f_F(\xi) d\xi \\ Y_{HA} &= q_A \int_{-L/2}^{\xi_P} f_A(\xi) d\xi \quad (2-20) \\ N_{HF} &= q_F \int_{\xi_P}^{L/2} \xi f_F(\xi) d\xi \\ N_{HA} &= q_A \int_{-L/2}^{\xi_P} \xi f_A(\xi) d\xi \end{aligned}$$

마지막 全船體에 作用하는 流體力은

$$\begin{aligned} Y_H &= Y_{HF} + Y_{HA} \\ N_H &= N_{HF} + N_{HA} \end{aligned} \quad (2-21)$$

이다.(그림 2-4 참조.)

그림 2-4. 現地의 數值計算에 있어서는 船體를

그림 2-4 두 조류해역의 경계에 위치한

4개의 Strip으로 나누어서 계산하였다.

전체의 좌표계

(부록 1 참조.)

2-5. 船體運動의 計算方法

對地運動에 대한 運動方程式 2-7식에서 各系數를 간단히

$$\begin{aligned} (m + m_x) &= A_0 \\ (m + m_y) &= B_0, \quad m_y \alpha_y = B_1, \quad m_y l_y = B_2 \\ (I_z + J_z) &= C_0, \quad m_y \alpha_y = C_1 \\ (I_x + J_x) &= D_0, \quad m_y l_y = D_1 \end{aligned} \quad (2-22)$$

이라고 하면

$$\begin{aligned} A_0 \dot{u}^* &= X_A \\ B_0 \dot{v}^* + B_1 \dot{r} - B_2 \dot{p} &= Y_A \quad (2-23) \\ C_0 \dot{r} + C_1 \dot{v}^* &= N_A \\ D_0 \dot{p} - D_1 \dot{v}^* &= K_A \end{aligned}$$

(부록 1 참조.)

$$\begin{aligned} \dot{u}^* &= \frac{X_A}{A_0} \\ \dot{v}^* &= \frac{C_0 D_0 Y_A + B_2 C_0 K_A - B_1 D_0 N_A}{C_0 (B_0 D_0 - B_2 D_1) - B_1 C_1 D_0} \\ \dot{r} &= \frac{C_1 D_0 Y_A + B_2 C_1 K_A - (B_0 D_0 + B_2 D_1) N_A}{B_1 C_1 D_0 - C_0 (B_0 D_0 - B_2 D_1)} \end{aligned} \quad (2-24)$$

$$\dot{p} = \frac{D_1}{D_0} \left\{ \frac{C_0 D_0 Y_A + B_2 C_0 K_A - B_1 D_0 N_A}{C_0 (B_0 D_0 - B_1 D_1) - B_1 C_1 D_0} \right\} + \frac{1}{D_0} K_A$$

이다. 그리고 Auto-pilot 의 수학모델로서

$$\delta^* = -C_1 \Psi - C_2 r' - C_3 y_0 \quad (2-25)$$

를 가정한다.

但, $r' = (\frac{L}{V}) r$, $y_0' = y_0/L$, 舵制限角度는 35° 이다.

그리고 조타기의 수학모델로서

$$\begin{aligned} \dot{\delta} &= (\delta^* - \delta) / T_E ; |\delta^* - \delta| \leq T_E |\dot{\delta}|_{\max} \\ \dot{\delta} &= \text{Sign}(\delta^* - \delta) |\dot{\delta}|_{\max} ; |\delta^* - \delta| > T_E |\dot{\delta}|_{\max} \end{aligned} \quad (2-26)$$

를 가정한다.

但, $T_E = 2.5 \text{ sec}$, $|\dot{\delta}|_{\max} = 3.0 \text{ deg/sec}$ 로 한다.

이것은 보통 채택되고 있는 전동유압식 조타기의 값이다. 그리고 δ^* 는 指令舵角이며, $\dot{\delta}$ 는 操舵角速度이다.

運動의 計算은 逐次積分法을 利用하여 電子計算機에 의해 다음과 같이 計算한다.

[1] 速度 및 角速度

$$u^*(t) = u^*(0) + \sum_{\tau=0}^{t-\Delta t} \dot{u}^*(\tau) \Delta t$$

$$v^*(t) = v^*(0) + \sum_{\tau=0}^{t-\Delta t} \dot{v}^*(\tau) \Delta t$$

$$r(t) = r(0) + \sum_{\tau=0}^{t-\Delta t} \dot{r}(\tau) \Delta t$$

$$p(t) = p(0) + \sum_{\tau=0}^{t-\Delta t} \dot{p}(\tau) \Delta t$$

[2] 位置, 方位角 및 橫搖角

$$\phi(t) = \phi(0) + \sum_{\tau=0}^{t-\Delta t} p(\tau) \Delta t$$

$$\Psi(t) = \Psi(0) + \sum_{\tau=0}^{t-\Delta t} r(\tau) \Delta t$$

$$x_o(t) = x_o(0) + \sum_{\tau=0}^{t-\Delta t} \{ u^*(\tau) \cos \phi(\tau) - v^*(\tau) \sin \phi(\tau) \cdot \sin \Psi(\tau) \} \Delta t$$

$$y_o(t) = y_o(0) + \sum_{\tau=0}^{t-\Delta t} \{ u^*(\tau) \sin \Psi(\tau) + v^*(\tau) \cos \phi(\tau) \cdot \cos \Psi(\tau) \} \Delta t$$

$$\beta(t) = \tan^{-1} \{ -v^*(t) / u^*(t) \}$$

실제의 計算은 船體가 境界海域에 進入하기 前인 第1潮流海域에 있는 狀態에서 始作하여 船體가 轉覆할 때까지 行하였으며, 그 外의 경우에는 境界海域의 중심으로 부터 船體 길이의 4 배 정도 나아간 곳까지 行하였다.

本論文에는 $V_{F1} = 0$, 進行時의 初期舵角 $\delta_0 = 0$ 的 경우에 대하여 計算을 수행한다. 이 것은 가장 基本的인 경우이지만, V_{F1} 이 0이 아닐 때에는 第2의 流速 V_{F2} 와의 速度差 및 船體가 처음부터 潮流中에 있음으로 해서 생기는 漂流角에 기인하는 進入角度의 相達를 고려해 주면 된다.



3. 數 值 計 算

3 - 1. 計算에 利用한 船舶의 主要目 및 流體力 資料.

計算에 利用한 船舶은 代表的인 Container 船型으로서 실선의 길이 175m이다. 主要目은 表 3 - 1에, 概略線圖는 그림 3 - 1에 나타냈다(表 3 - 1, 그림 3 - 1 참조).

그리고 流體力資料는 문현 [3]의 流體力微系數들을 利用하였으며 表 3 - 2에 나타냈다(表 3 - 2 참조).

그리고 本船舶의 靜復原 아암 $\bar{GZ}(\phi)$ 는 桑野研一^[9]의 근사추정법(부록 2 참조)을 利用하여 구하였으며, $\bar{GM} = 0.5\text{m}$ 의 경우 $\bar{GZ}(\phi)$ 의 값을 계산하여 그림 3 - 2에 表示하였다.

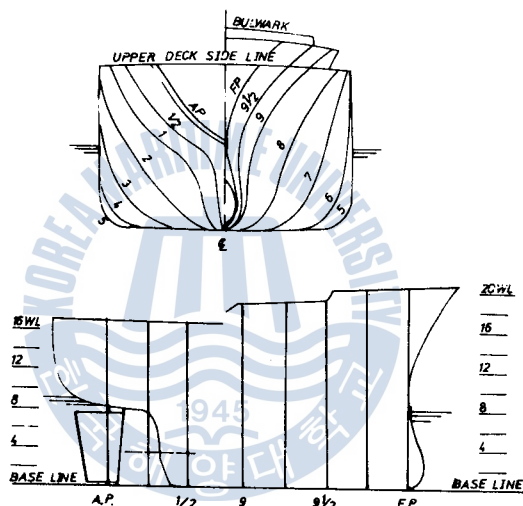


그림 3 - 1 계산에 이용한 선박의 개략선도

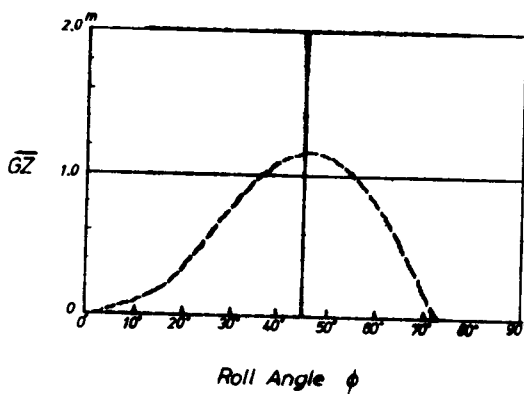


그림 3 - 2 \bar{GZ} 곡선 ($\bar{GM} = 0.5\text{m}$ 의 경우)

표 3-1 계산에 이용한 선박의 주요특성

ITEMS		ACTUAL	MODEL
Hull Length B. P.	L(m)	175.00	3.00
Breadth	B(m)	25.40	0.435
Draft Fore	d _F (m)	8.00	0.1371
Aft	d _A (m)	9.00	0.1543
Mean	d(m)	8.50	0.1457
Displacement volume (m ³)		21,222	0.10686
Height from keel to transverse metacenter KM(m)		10.39	0.1781
Height from keel to center of buoyancy KB(m)		4.6154	0.07912
Block coefficient C _B			0.559
Prismatic coef. C _P			0.580
Waterplane area coef. C _W			0.686
Midship section coef. C _M			0.966
L.C.B. from F.P.			0.518L
Radius of gyration about z axis			0.240L
Bilge keel			
Length	(m)	43.75	0.75
Depth	(cm)	45.0	0.7714
Rudder Area	A _R (m ²)	33.036	0.009709
Height	H(m)	7.7583	0.133
Aspect ratio	A		1.8219
Area ratio	A _R /Ld		1/45.0
Propeller			
Diameter	D(m)	6.533	0.112
Pitch ratio	P		1.009
Expanded area ratio			0.67
Boss ratio			0.18
Number of blade			5

표 3-2 유체력 미계수

a) HULL ONLY

X _{uu}	-0.0004226	Y _v	-0.0116	N _v	-0.0038545
X _{vv}	-0.00386	Y _r	0.00242	N _r	-0.00222
X _{rr}	0.0002	Y _s	0.0	N _s	0.000213
X _{ss}	-0.0002	Y _f	-0.000063	N _f	-0.0001424
X _{vr}	-0.00311	Y _{vvv}	-0.109	N _{vvv}	0.001492
K _T	0.527-0.455J	Y _{rrr}	0.00177	N _{rrr}	-0.00229
		Y _{rvv}	0.0214	N _{rvv}	-0.0424
		Y _{rrv}	-0.0405	N _{rrv}	0.00156
		Y _{vvs}	0.04605	N _{vvs}	-0.019058
		Y _{vs}	0.00304	N _{vs}	-0.005376
		Y _{rrs}	0.009325	N _{rrs}	-0.003859
		Y _{rs}	-0.001368	N _{rs}	0.0024195
m'	0.00792	I _z	0.000456		
m' _x	0.000238	J _z	0.000419		
m' _y	0.007049	α'_v	0.05		
I _x	0.0000176				
J _x	0.0000034				

b) PROPELLER AND RUDDER

N _p	79.1(F _n 0.2)	a _H	0.237	ϵ	1.0
	118.64(F _n 0.3)	x _H	-0.48	k	0.600
	158.19(F _n 0.4)	C _{RX}	0.71	r	0.4
(1-t)	0.825	C _L	-1.0	x _R '	-0.5

3-2. 計算結果의 檢討

우선 流速이 急變하는 潮流海域를 橫斷할 때의 運動經過의 例를 그림 3-3에 나타냈다.

그림 3-3은 $\bar{GM}=0.5\text{m}$, 境界의 幅 B_F 가 船體길이의 $3/4$ 인 경우로서 船舶의 初速 (V_{F1} 流速 中의 對地速度) $V_o=8.283\text{m/sec}$ ($F_n=0.2$), 第 1 流速 $V_{F1}=0\text{m/sec}$, 第 2 流速 $V_{F2}=8.283\text{m/sec}$, 流向 $\psi_F=60^\circ$ 인 때의 船體重心의 軌跡이다. 船體는 舵의 作用에도 불구하고 潮流의 方向 으로 回頭를 계속한다.

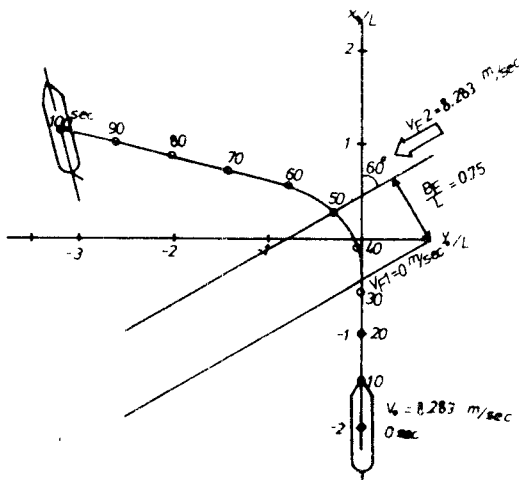


그림 3-3 조류해역을 횡단하는 선체중심의 움직임

以下 여러 환경조건下에서 船体의 動態를 종합적으로 평가하기 위해 潮流海域을 橫斷할 때의 最大橫搖角과 最大回頭角速度의 크기를 比較検討하여, 어떠한 條件下에서 운동이 격심하게 일어나는지를 파악하였다.

그림 3-4는 最大橫搖角 ϕ_{max} 와 最大回頭角速度 r'_{max} 에 미치는 船体의 初期進入速度의 影響을 나타낸다.豫想했던 바와 같이 境界海域에로의 進入速度가 增加함에 따라 ϕ_{max} 와 r'_{max} 는 急增하는 것으로 나타난다. 그림은 $\bar{GM} = 0.5m$, 流向 $\psi_F = 60^\circ$, 第2流速이 각각 $4.141m/sec$ ($F_n = 0.1$), $8.283m/sec$ ($F_n = 0.2$), $12.424m/sec$ ($F_n = 0.3$)인 경우이다.

그림 3-5는 流速差의 影響을 나타낸다. V_{F1} , V_{F2} 의 流速差가 클수록 ϕ_{max} 와 r'_{max} 는 增加한다. 流速差의 影響도 船体의 進入速度의 影響과 거의 같은 경향이다. 그림에서는 $\bar{GM} = 0.5m$, $V_{F1} = 0m/sec$, ψ_F 는 각각 30° , 60° , 90° 인 경우이다.

그림 3-6은 境界海域의 幅의 影響을 나타낸다. 船体進入速度와 流速差가 작은範圍에서는 境界海域의 幅의 影響도 작다.

그림 3-7은 流向의 影響을 나타낸다. 이 경우는 ψ_F 가 작은 범위에서 船体運動이 적게 일어난다.

그림 3-8은 船体의 \bar{GM} 의 影響을 나타낸다. \bar{GM} 이 감소하면 復原力이 감소하게 되므로 ϕ_{max} 가 增加하게 된다.

한편 ϕ_{max} 또는 r'_{max} 가 일어나는 시각은 船体가 潮流의 흐름을 正橫方向에서 받게 되는 때이고, 이때 船体에 最大의 流体力가 作用하게 된다.

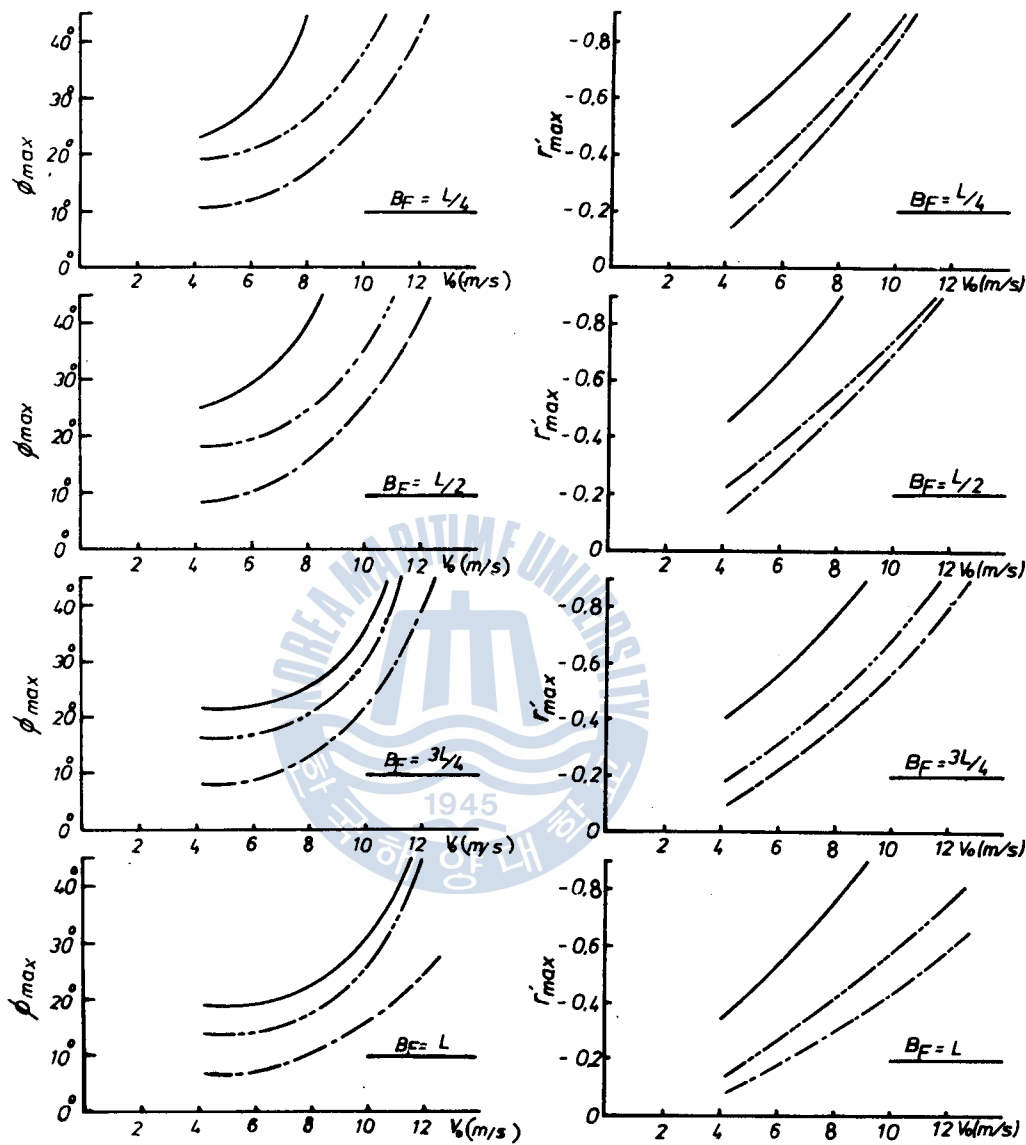


그림 3-4 횡요각과 회두각속도에 미치는
진입속도의 영향

$\gamma_F = 50^\circ$
$V_{F1} = 0 \text{ m/sec}$
$\overline{GM} = 0.5 \text{ m}$
$V_{F2} =$
— 12.424 m/sec
- - - 8.283 m/sec
- - - 4.141 m/sec

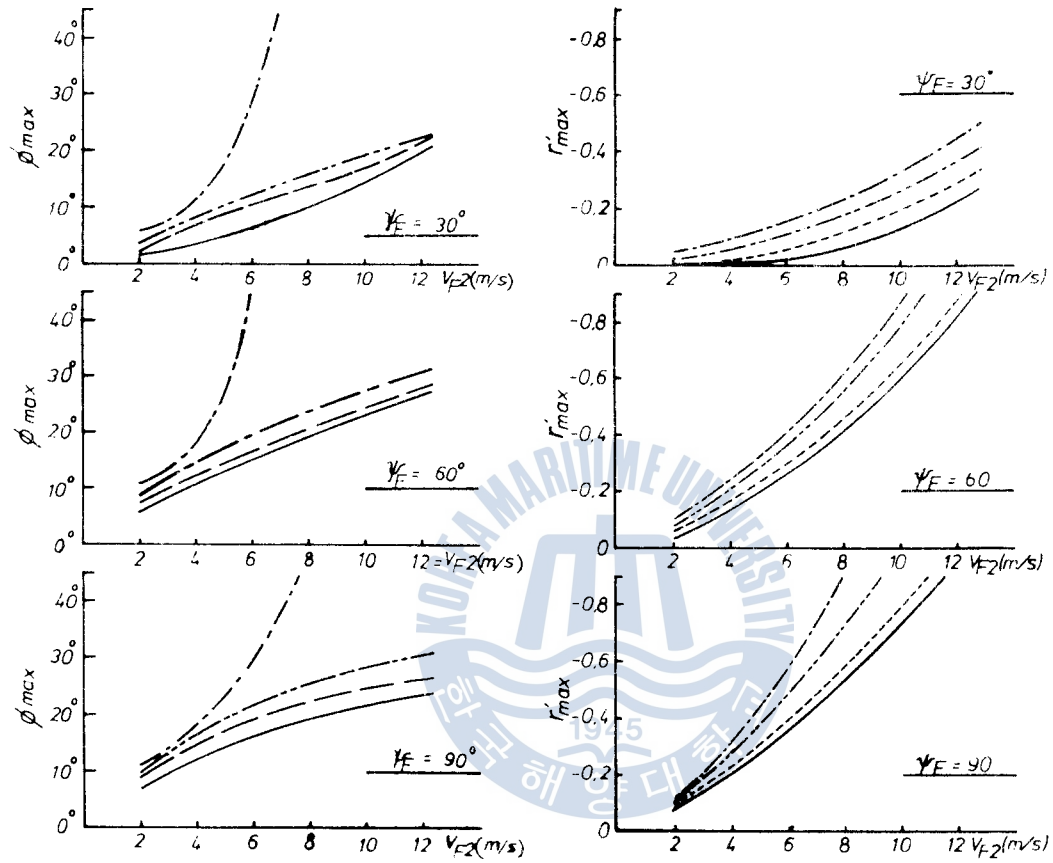


그림 3-5 횡요각과 회두각속도에
미치는 유속 하의 영향

$V_0 = 8.283 \text{ m/sec}$
$V_{F1} = 0 \text{ m/sec}$
$GM = 0.5 \text{ m}$
$B_F =$
— $L/4$
— $L/2$
— $3L/4$
— L

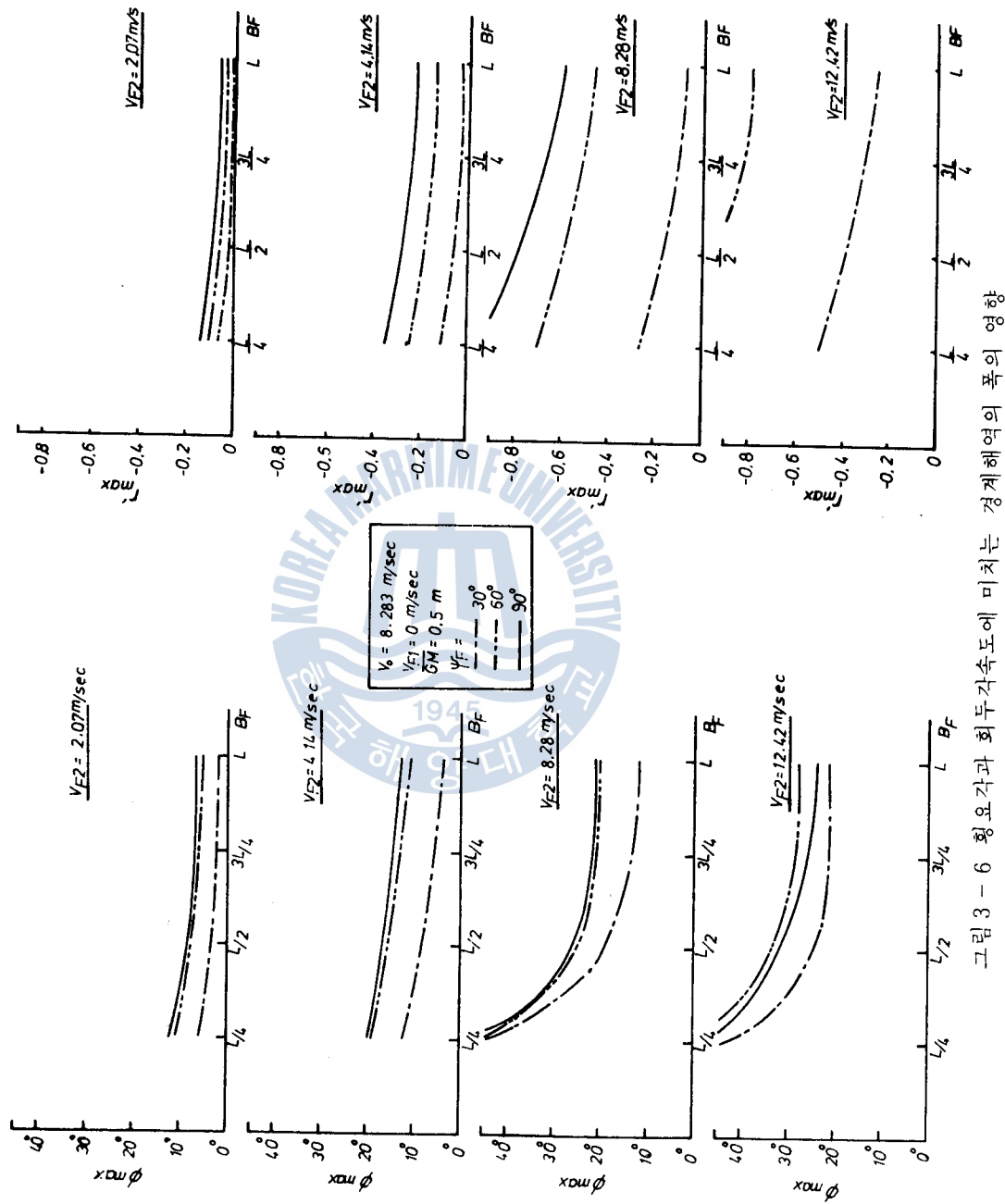
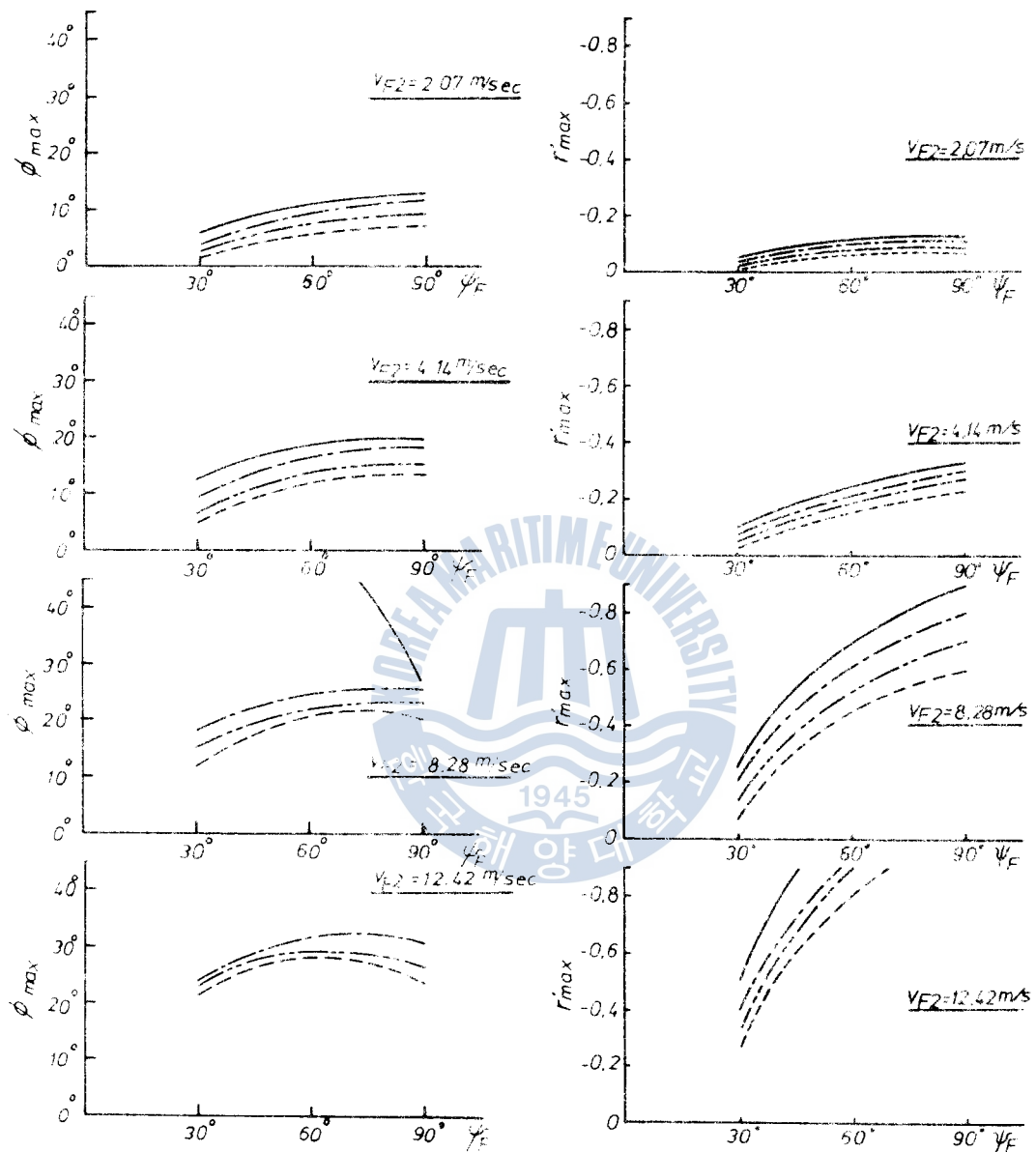


그림 3 – 6 항모각과 회두각속도에 미치는 경계해역의 폭의 영향



$V_o = 8.283 \text{ m/sec}$
$V_{E1} = 0 \text{ m/sec}$
$GM = 0.5 \text{ m}$
$B_F =$
$\cdots \cdots \cdots L/4$
$- - - - L/2$
$- - - - 3L/4$
$- - - - L$

그림 3-7. 80t 배수 80t 배수 60t 배수 40t 배수 20t 배수 20t 배수의 경우

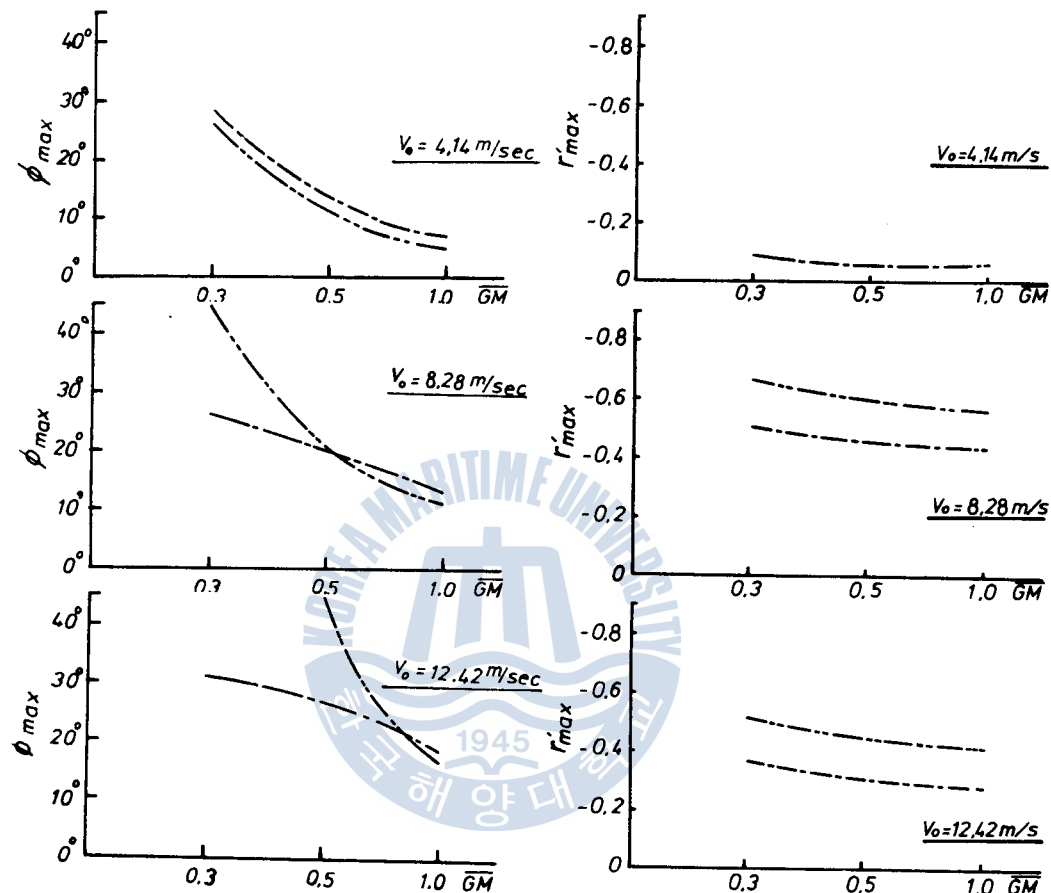


그림 3-8 횡요각과 회두각속도에 미치는
GM의 영향

$V_{F1} = 0 \text{ m/sec}$
$V_{F2} = 8.28 \text{ m/sec}$
$B_F = L$
$\phi_F =$
0°
60°
90°

4. 結論

流速이 急變하는 潮流海域을 수식모델화하여, 이 海域을 橫斷하는 船舶의 動을 주제로
래이프에 의해 計算한 結果 다음과 같은 結論을 얻었다.

- (1) 境界海域을 通過하는 時間이 길면 最大橫搖角 ϕ_{max} 및 最大回頭角速度 r'_{max} 은 작아진다.
即 船速이 저속이고, 境界海域의 幅이 크면 ϕ_{max} 및 r'_{max} 는 작아진다.
- (2) 境界海域에 進入後, 船体가 큰 回頭角速度를 가지게 되는 데서 ϕ_{max} 가 작아진다. 即 亂
連差가 작은 데서 ϕ_{max} 가 작아지고, 流向 ψ_f 가 작은 데서 ϕ_{max} 가 작아진다.
- (3) GM의 증감은 特히 ϕ_{max} 에 큰 影響을 준다.



參 考 文 獻

- 1) 本田啓之輔他：來島海峡の渦流が操船に及ぼす影響，日本航海學會志(論文集)，第45號，1971年8月
- 2) 小川陽弘：強潮流域における船の轉覆について，日本航海學會志(論文集)，第57號，1978年8月
- 3) 係景浩：高速コンテナ船の操縦運動と横揺れの連成運動について，日本造船學會論文集，第150號
1981年
- 4) H. Eda : Rolling and Steering Performance of high speed Ships, 13th O. N. R. Symposium
(1980), Session IV - 4
- 5) M. Hirano and J. Takashina : A Calculation of Ship Turning Motion Taking Coupling Effect due
to Heel into Consideration, J. of S. N. A. of Western Japan, No. 59 (1980), p. 71-81
- 6) 小川陽弘，長谷川和彦，芳村康男：M M G報告—操縦運動數學モデルの實驗的檢證と改良，日本
造船學會志 616號，1980
- 7) J. N. Newman : Marine Hydrodynamics, MIT Press, 1978, p. 135-140
- 8) 藤井齊，津田達雄：自航模型による舵特性の研究(2)，日本造船學會論文集，第110號，1961年
- 9) 桑野研一：復原力近似計算について，日本西部造船會會報，第13號，1957
- 10) 元良誠三：船体と海洋構造物の運動學，成山堂，1982, p. 26



附 錄

1. 潮流海域을 橫斷하는 船體의 動運動計算 알고리즘
2. 靜復原아암 GZ (ϕ) 的 近似推定法



〔附錄 1〕 流速變化가 있는 潮流海域을 橫斷하는 船體의 運動計算 알고리즘

流速變化가 있는 潮流海域을 橫斷할 때 船體의 對水速度가 船體길이方向으로 달라지므로, 數值計算에 어려움이 없을 정도로 船體를 四等分하여 계산하였다. 그림 A-1에서 船體의 各等分點의 座標와 船首尾線과 境界線의 交點은 아래와 같다.

우선 船體의 무게重心의 座標(P_0)를 x_0, y_0 로 두면 船體의 中心(\bullet)의 座標(P_1)은

$$x_1 = x_0 + x_M \cos \psi$$

$$y_1 = y_0 + x_M \sin \psi$$

但, x_M 은 重心 G 에서 본 中心 O 의 x 座標이다.

그리고 船首($L/2$)의 座標(P_2)은

$$x_2 = x_1 + \frac{L}{2} \cos \psi$$

$$y_2 = y_1 + \frac{L}{2} \sin \psi$$

이고, 船體前方($L/4$)의 座標(P_3)은

$$x_3 = x_1 + \frac{L}{4} \cos \psi$$

$$y_3 = y_1 + \frac{L}{4} \sin \psi$$

이고, 船體後方($-L/4$)의 座標(P_4)은

$$x_4 = x_1 - \frac{L}{4} \cos \psi$$

$$y_4 = y_1 - \frac{L}{4} \sin \psi$$

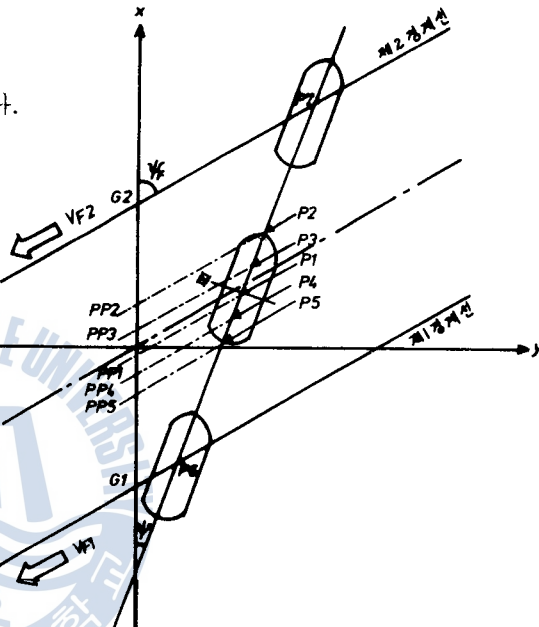


그림 A-1 조류해역

이고, 船尾($-L/2$)의 座標(P_5)은

$$x_5 = x_1 - \frac{L}{2} \cos \psi$$

$$y_5 = y_1 - \frac{L}{2} \sin \psi$$

이다. 그리고 第 1 境界線($x = \cot \psi_F \cdot y - B_F / 2 \sin \psi_F$)과 船首尾線($x = \cot \psi \cdot y + x_0 - \cot \psi \cdot y_0$)의 交點(P_6)은

$$x_6 = \frac{\cot \psi_F (x_0 - \cot \psi \cdot y_0) + \cot \psi (B_F / 2 \sin \psi_F)}{\cot \psi_F - \cot \psi}$$

$$y_6 = \frac{x_0 - \cot \psi \cdot y_0 + B_F / 2 \sin \psi_F}{\cot \psi_F - \cot \psi}$$

이며, 第 2 境界線($x = \cot \psi_F \cdot y + B_F / 2 \sin \psi_F$)과 船首尾線의 交點(P_7)은

$$x_7 = \frac{\cot \psi_F (x_0 - \cot \psi \cdot y_0) + \cot \psi (B_F / 2 \sin \psi_F)}{\cot \psi_F - \cot \psi}$$

$$y_7 = \frac{x_o - \cot \psi \cdot y_o + B_F / 2 \sin \psi_F}{\cot \psi_F - \cot \psi}$$

이와 그리고 各 等分點을 境界線과 平行하게 移動한 x 의 線은

$$PP1 = x_1 - \cot \psi_F \cdot y_1$$

$$PP2 = x_2 - \cot \psi_F \cdot y_2$$

$$PP3 = x_3 - \cot \psi_F \cdot y_3$$

$$PP4 = x_4 - \cot \psi_F \cdot y_4$$

$$PP5 = x_5 - \cot \psi_F \cdot y_5$$

이면, 第1,2境界線의 線을 G_1 , G_2 로 한다. 따라서 流速計算은 그림에서 처럼 크게 3 가지 경우로 구분하여 각 경우에 대해 각 등분점에서의 流速을 구한 後, 等分에 作用하는 平均流速을 구한다. 例를 들면 船體가 境界域内에 있는 경우, 即 $PP2 > G_2$, $PP5 > G_1$ 일 경우로 각 等分處에서의 流速을 구하면 아래와 같다.

$$V_{FA} = \frac{PP2 - G_1}{G_2 - G_1} \times (V_{F2} - V_{F1})$$

$$V_{FB} = \frac{PP3 - G_1}{G_2 - G_1} \times (V_{F2} - V_{F1})$$

$$V_{FC} = \frac{PP3 - G_1}{G_2 - G_1} \times (V_{F2} - V_{F1})$$

$$V_{FD} = \frac{PP4 - G_1}{G_2 - G_1} \times (V_{F2} - V_{F1})$$

$$V_{FE} = \frac{PP5 - G_1}{G_2 - G_1} \times (V_{F2} - V_{F1})$$

여기서 V_{FA} , V_{FB} , V_{FC} , V_{FD} , V_{FE} 는 各各 船首, 船體前方 $L/4$, 船體中心, 船體後方 $L/4$, 船尾에서의 流速이다. 그림으로 各 等分에서의 평균유속은 다음과 같다.

$$V_{FAB} = \frac{V_{FA} + V_{FB}}{2}$$

$$V_{FBC} = \frac{V_{FB} + V_{FC}}{2}$$

$$V_{FCD} = \frac{V_{FC} + V_{FD}}{2}$$

$$V_{FDE} = \frac{V_{FD} + V_{FE}}{2}$$

여기서 V_{FAB} , V_{FBC} , V_{FCD} , V_{FDE} 는 各各 船首에서 船體前方 $L/4$, 船體前方 $L/4$ 에서 船體中, 船體中에서 船體後方 $-L/4$, 船體後方 $-L/4$ 에서 船尾까지의 평균유속이다. 그리고 다른 경우에도 上記의 方法으로서 계산하므로 省略한다.

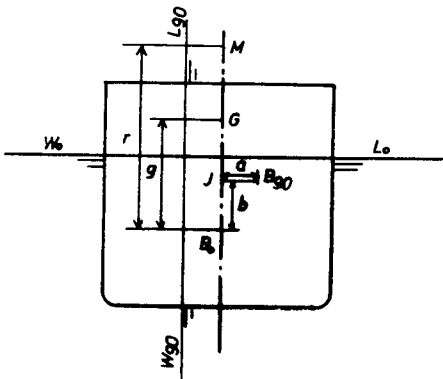


그림 A - 2 횡경사도

〔附錄 2〕 靜復原아암 $\bar{G}\bar{Z}(\phi)$ 의 近似推定法

横搖角이 少角度 即 15°以下인 경우에는 수직현측선으로 가정하여 다음과 같이 가정한다.

$$\bar{G}\bar{Z}(\phi) = \sin(\phi) \{ \bar{GM} + \frac{1}{2} \bar{BM} \tan^2 \phi \} \quad (1)$$

그리고 横搖角이 大角度 即 15°以上인 경우에는 桑野研一의 方法으로 다음과 같이 추정한다.

그림 A - 2에서 $W_0 L_0$, $W_{90} L_{90}$ 은 각각 경사각이 0°, 90°일때의 水線이며, M 은 Metacenter, G 는 무게重心, B_0 , B_{90} 은 각각 경사각이 0°, 90°일때의 浮力의 中心이다.

$b = g$ 라 가정하고, $x = \frac{\pi}{2} - \phi$ 라 두었을 때 桑野의 式은 다음과 같다.

$$\bar{G}\bar{Z}(x) = F_1(x) a + F_2(x) b + F_3(x) r + F_4(x) m \quad (2)$$

여기서

$$F_1(x) = 2.14359x + 4.14997x^2 - 7.25756x^3 + 1.65523x^5$$

$$F_2(x) = -2.07055x - 1.91120x^2 + 4.06365x^3 - 0.86577x^5 + \cos x$$

$$F_3(x) = -0.07433x - 2.37334x^2 + 3.41892x^3 - 0.84209x^5 - \cos x$$

$$F_4(x) = \cos x$$

이다. $b \neq g$ 인 일반적인 경우에 靜復原아암 $\bar{G}\bar{Z}(\phi)$ 는 다음과 같이 표시된다.

$$\bar{G}'\bar{Z}'(\phi) = \bar{G}\bar{Z}(\phi) - \bar{GJ} \sin \phi \quad (3)$$

但, $\bar{GJ} = m - \bar{GM}$, $\bar{G}'\bar{Z}'(\phi) : b \neq g$ 인 경우의 $\bar{G}\bar{Z}(\phi)$

그리고 2식에서 $r = \bar{B}_0 \bar{M} = \bar{BM}$

$$m = \bar{JM} \quad (b = g \text{ 일때의 } \bar{GM})$$

이며, a , b 는 문헌 [10]의 prediction chart로 부터 구한다. 따라서 (1)(2)(3)식에서 구한 靜復原아암 $\bar{G}\bar{Z}(\phi)$ 를 $\bar{GM} = 0.5m$ 인 경우에 對해 그림 3-2에 나타냈다.